

## Субградиентные методы с преобразованием пространства для минимизации овражных выпуклых функций

Стецюк П.И.

Институт кибернетики им. В.М. Глушкова НАН Украины

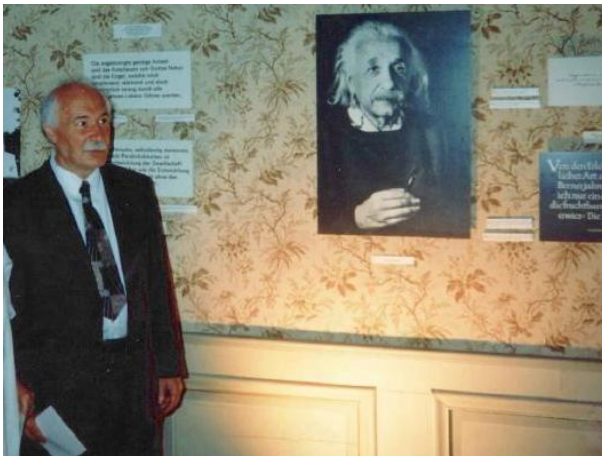
e-mail: stetsyukp@gmail.com

Международная конференция «Современные проблемы прикладной  
математики и механики: теория, эксперимент и практика»,  
посвященная 90-летию со дня рождения академика Н.Н. Яненко  
Новосибирск, Россия, 30 мая – 4 июня 2011 г.

# План

- 1 Об одной истории с фотографией
  - О внешнем сходстве Шора и Ейнштейна
  - О сходстве идей ...
- 2 Субградиентные методы с преобразованием пространства
  - $r$ -алгоритмы и octave-функция `ralgb5`
  - Метод `amsg2p` и его алгоритм-функция

## Внешнее сходство Н.З. Шора с А. Эйнштейном



подметил Ж.-Ф. Эмменеггер (университет Фрибурга, Швейцария). Он был инициатором фотографии, фрагмент из которой приведен на слайде.

# Фотография сделана в музей-квартире А. Эйнштейна, Берн, 1997 год.



Эту фотографию Н.З. положил на мой рабочий стол в 1997 году. При этом он улыбнулся и многозначительно промолчал. Я смог произнести только „А вот и еще одно доказательство ...“, вспоминая наш разговор 1995 года. Он еще раз улыбнулся и снова многозначительно промолчал.

# И еще о внешней схожести ... но уже помоложе ...



Альберт Ейнштейн в Берлине.



Наум Шор в Киеве.

# О сходстве идей ... или о разговоре 1995 года.

Что общего?

между

формулой Ейнштейна для энергии в релятивистской динамике

$$E = \frac{m_0}{\sqrt{1 - \frac{v^2}{c^2}}} c^2, \quad \text{где} \quad m = \frac{m_0}{\sqrt{1 - \frac{v^2}{c^2}}}$$

и

оператором Шора для растяжения пространства

$$R_\alpha(\xi) = I + (\alpha^2 - 1)\xi\xi^T, \quad \text{где} \quad \alpha > 1.$$

## Чуть подробнее об операции растяжения пространства ...

Операция растяжения пространства переменных реализуется с помощью оператора растяжения пространства, который в матрично-векторной форме представим:

$$R_\alpha(\xi) = I_n + (\alpha - 1)\xi\xi^T, \quad \xi \in E^n, \quad \|\xi\| = 1, \quad \alpha > 1,$$

где  $(\cdot)^T$  означает транспонирование,  $I_n$  – единичная матрица порядка  $n$ ,  $\alpha$  – коэффициент растяжения пространства,  $\xi$  – направление растяжения.

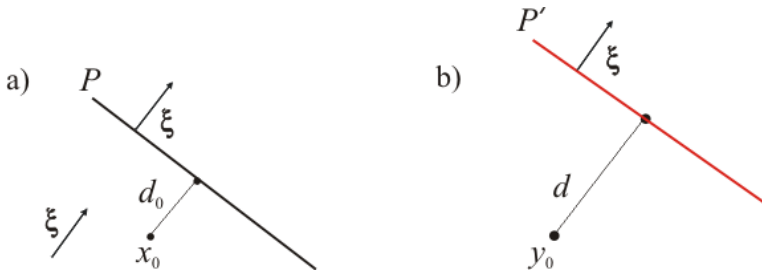
При описании алгоритмов с растяжением пространства используется оператор  $R_\beta(\xi)$ , обратный к оператору растяжения пространства  $R_\alpha(\xi)$ . Он имеет следующий вид:

$$R_\beta(\xi) = R_\alpha^{-1}(\xi) = I_n + (\beta - 1)\xi\xi^T, \quad \beta = \frac{1}{\alpha} < 1$$

и в методах с растяжением пространства переменных используется для „сжатия“ пространства субградиентов.

# О расстояниях в двух пространствах (простейший случай), $\alpha > 1$

Пусть  $P = \{x \in E^n : (x - x_0, \xi) = d_0\}$  – гиперплоскость в исходном пространстве  $X = E^n$  (рис. а). В преобразованном пространстве  $Y = R_\alpha(\xi)X$  ей соответствует гиперплоскость  $P' = \{y \in E^n : (y - y_0, \xi) = d\}$  (рис. б).



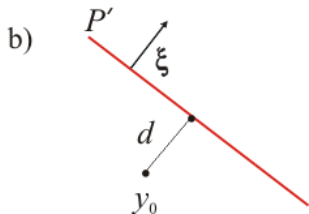
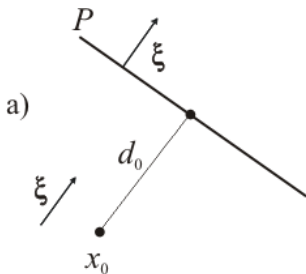
$d_0$  – расстояние до  $P$  и  $d$  – расстояние до  $P'$  связаны соотношением

$$d = d_0 \times \alpha = \frac{d_0}{\beta} = \frac{d_0}{\sqrt{1 - (1 - \beta^2)}} = \text{ПОЧТИ} = \frac{d_0}{\sqrt{1 - v^2/c^2}}$$



Тот же простейший случай, но коэффициент растяжения  $\alpha < 1$ 

Пусть  $P = \{x \in E^n : (x - x_0, \xi) = d_0\}$  – гиперплоскость в исходном пространстве  $X = E^n$  (рис. а). В преобразованном пространстве  $Y = R_\alpha(\xi)X$  ей соответствует гиперплоскость  $P' = \{y \in E^n : (y - y_0, \xi) = d\}$  (рис. б).

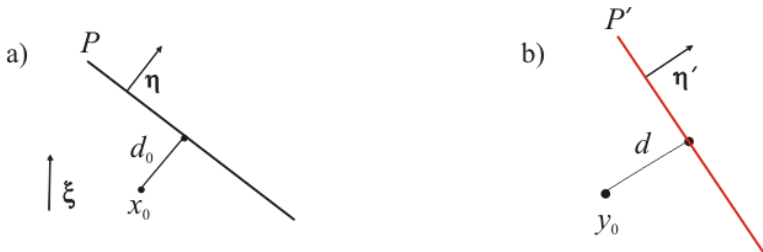


$d_0$  – расстояние до  $P$  и  $d$  – расстояние до  $P'$  связаны соотношением

$$d = d_0 \times \alpha = d_0 \sqrt{1 - (1 - \alpha^2)} = \text{почти} = d_0 \sqrt{1 - v^2/c^2}$$

# О расстояниях до гиперплоскостей в общем случае

Пусть  $P = \{x \in E^n : (x - x_0, \eta) = d_0\}$  – гиперплоскость в исходном пространстве  $X = E^n$  (рис. а). В преобразованном пространстве  $Y = R_\alpha(\xi)X$  ей соответствует гиперплоскость  $P' = \{y \in E^n : (y - y_0, \eta') = d\}$  (рис. б).

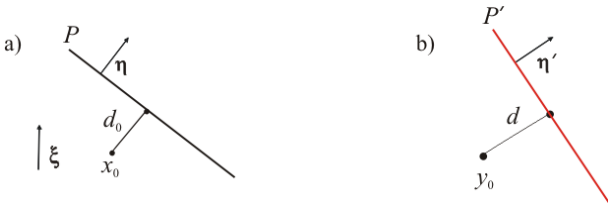


$d_0$  – расстояние до  $P$  и  $d$  – расстояние до  $P'$  связаны соотношением

$$d = \frac{d_0}{\|R_\beta(\xi)\eta\|} = \frac{d_0}{\sqrt{1 + (\beta^2 - 1)(\xi, \eta)^2}} \quad \text{и} \quad \eta' = \frac{R_\beta(\xi)\eta}{\|R_\beta(\xi)\eta\|}$$

# Что это дает для субградиентных процессов?

Нормали к гиперплоскостям  $P'$  и  $P$  связаны формулой  $\eta' = \frac{R_\beta(\xi)\eta}{\|R_\beta(\xi)\eta\|}$



а значит, выбрав подходящие направления растяжения и соответствующие им коэффициенты, можно так преобразовать текущее пространство переменных, чтобы в преобразованном пространстве переменных улучшались те или иные свойства субградиентного процесса.

**!!! очень похоже на использование Ейнштейном преобразований Лоренца !!!**

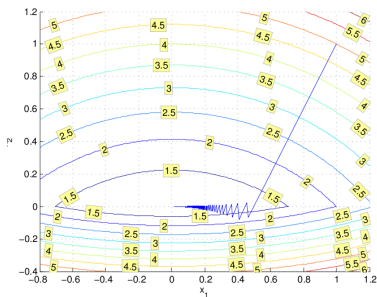
На этом принципе основаны  $r$ -алгоритмы и метод `amsq2p`, которые имеют ускоренную сходимость для овражных и существенно овражных выпуклых функций. (see <http://conf.nsc.ru/niknik-90/reportview/37828>).

# Пример ускоренной сходимости для существенно овражной функции.

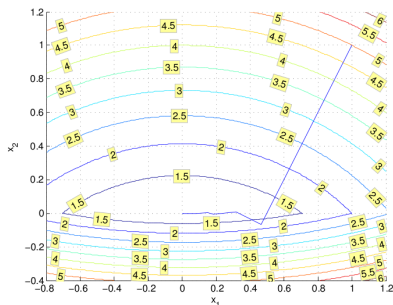
Существенно овражная кусочно-квадратичная функция

$$f_2(x_1, x_2) = \max \{x_1^2 + (2x_2 - 2)^2 - 3, x_1^2 + (x_2 + 1)^2\}$$

вырождена в точке минимума  $x^* = (0, 0)$ ,  $f^* = 1$ .



Метод Поляка (10000 итераций)



Метод amsg2p (30 итераций)

## Об r-алгоритмах Н.З. Шора

r-Алгоритмы – семейство субградиентных методов с растяжением пространства, предназначенных для нахождения  $f_r^*$  и  $x_r^*$  в задаче

$$\text{найти } f_r^* \approx f^* = \min_{x \in R^n} f(x) \quad \text{и} \quad x_r^* \approx x^* = \operatorname{argmin}_{x \in R^n} f(x), \quad (1)$$

где  $f(x)$  – выпуклая функция (как негладкая, так и гладкая).

Вычислительная схема r-алгоритмов такова

$$x_{k+1} = x_k - h_k B_k \frac{B_k^T \partial f(x_k)}{\|B_k^T \partial f(x_k)\|}, \quad h_k \geq h_k^*, \quad (2)$$

$$h_k^* = \operatorname{argmin}_{h \geq 0} f \left( x_k - h B_k \frac{B_k^T \partial f(x_k)}{\|B_k^T \partial f(x_k)\|} \right)$$

$$r_k = \partial f(x_{k+1}) - \partial f(x_k), \quad \xi_k = \frac{B_k^T r_k}{\|B_k^T r_k\|}, \quad (3)$$

$$B_{k+1} = B_k R_{\beta_k}(\xi_k), \quad k = 0, 1, 2, \dots, \quad (4)$$

Здесь  $\partial f(x)$  – субградиент (градиент) функции  $f(x)$

## Об $r$ -алгоритмах Н.З. Шора (продолжение)

$r$ -Алгоритмы базируются на процедуре точного (приближенного) поиска минимума функции по направлению антисубградиента в преобразованном пространстве переменных и обеспечивают монотонность (или почти монотонность) по значениям минимизируемой функции.

$r$ -Алгоритмы используют операцию растяжения пространства в направлении разности двух последовательных субградиентов (второй субградиент вычислен в точке минимума функции в направлении первого антисубградиента).

$r(\alpha)$ -Алгоритм – вариант  $r$ -алгоритмов с постоянным на каждой итерации коэффициентом растяжения пространства  $\alpha$  ( $\alpha > 1$ ) и адаптивной регулировкой шага в направлении нормированного антисубградиента в преобразованном пространстве.

## О параметрах $r(\alpha)$ -алгоритма

Адаптивная регулировка шага реализует спуск в направлении нормированного антисубградиента в преобразованном пространстве переменных и делает это с помощью параметров  $h_0$ ,  $q_1$ ,  $n_h$ ,  $q_2$ . Здесь  $h_0$  — величина начального шага (используется на 1-й итерации, на каждой последующей итерации эта величина уточняется);  $q_1$  — коэффициент уменьшения шага ( $q_1 \leq 1$ ), если условие завершения спуска по направлению выполняется за один шаг;  $q_2$  — коэффициент увеличения шага ( $q_2 \geq 1$ ); натуральное число  $n_h$  задает число шагов одномерного спуска ( $n_h > 1$ ), через каждые из которых шаг будет увеличиваться в  $q_2$  раз.

Параметры  $\varepsilon_x$  и  $\varepsilon_g$  определяют условия завершения  $r(\alpha)$ -алгоритма: метод останавливается в точке  $x_{k+1}$ , если выполнено  $\|x_{k+1} - x_k\| \leq \varepsilon_x$  (останов по аргументу); метод останавливается в точке  $x_{k+1}$ , если выполнено условие  $\|g_f(x_{k+1})\| \leq \varepsilon_g$  (останов по норме субградиента, используется для гладких функций). Аварийное завершение метода связано либо с тем, что функция  $f(x)$  неограничена снизу, либо  $h_0$  слишком мал и его требуется увеличить.

## Что делает octave-функция `ralgb5`?

Octave-функция `ralgb5` реализует  $r(\alpha)$ -алгоритм. Она использует подготовленную пользователем octave-функцию

```
function [f,g] = calcfg(x),
```

которая вычисляет значение функции  $f = f(x)$  и её субградиента  $g = \partial f(x)$  в точке  $x$ .



## Вход и выход octave-функции ralgb5

*Octave-функция ralgb5 использует следующие параметры*

```
% Входные параметры:  
%   calcfg -- имя функции вида calcfg(x) для вычисления f и g  
%   x      -- начальная точка x(n) (на выходе портится)  
%   alpha  -- коэффициент растяжения пространства  
%   h0, nh, q1, q2 -- параметры адаптивной регулировки шага  
%   epsx, epsg, maxitn -- параметры останова  
% Выходные параметры:  
%   xr -- найденная точка минимума функции xr(n)  
%   fr -- значение функции в точке минимума  
%   itn -- число затраченных итераций  
%   ncalls -- число вызовов функции calcfg  
%   istop -- код останова (2 = epsg, 3 = epsx, 4 = maxitn, 5 = error)
```

## Код octave-функции ralgb5

```

# ralgb5 -- Octave-function for Shor's r-algorithm
function [xr,fr,itn,ncalls,istop]=ralgb5(calcfg,x,alpha,h0,q1,
                                     q2,nh,epsq,epsx,maxitn);
itn=0; hs=h0; B=eye(length(x)); xr=x; # row001
ncalls = 1; [fr,g0] = calcfg(xr); # row002
printf("itn %4d f %14.6e fr %14.6e ls %2d ncalls %4d\n", # row003
       itn, fr, fr, 0, ncalls);
if(norm(g0) < epsq) istop = 2; return; endif # row004
for (itn = 1:maxitn) # row005
    dx = B * (g1 = B' * g0)/norm(g1); # row006
    d = 1; ls = 0; ddx = 0; # row007
    while (d > 0) # row008
        x -= hs * dx; ddx += hs * norm(dx); # row009
        ncalls ++; [f, g1] = calcfg(x); # row010
        if (f < fr) fr = f; xr = x; endif # row011
        if(norm(g1) < epsq) istop = 2; return; endif # row012
        ls ++; (mod(ls,nh)==0) && (hs *= q2); # row013
        if(ls > 500) istop = 5; return; endif # row014
        d = dx' * g1; # row015
    endwhile # row016
    (ls == 1) && (hs *= q1); # row017
    printf("itn %4d f %14.6e fr %14.6e ls %2d ncalls %4d\n", # row018
          itn, f, fr, ls, ncalls);
    if(ddx < epsx) istop = 3; return; endif # row019
    xi = (dg = B' * (g1 - g0) )/norm(dg); # row020
    B += (1 / alpha - 1) * B * xi * xi'; # row021
    g0 = g1; # row022
endfor # row023
istop = 4; # row024
endfunction
    
```

## Octave-функция ralgb5 ... rows(001-004,024)

```

# ralgb5 -- Octave-function for Shor's r-algorithm
function [xr,fr,itn,ncalls,istop]=ralgb5(calcfg,x,alpha,h0,q1,
                                       q2,nh,epsg,epsx,maxitn);
itn=0; hs=h0; B=eye(length(x)); xr=x;                                     # row001
ncalls = 1; [fr,g0] = calcfg(xr);                                       # row002
printf("itn %4d f %14.6e fr %14.6e ls %2d ncalls %4d\n",              # row003
       itn, fr, fr, 0, ncalls);
if(norm(g0) < epsg) istop = 2; return; endif                             # row004
for (itn = 1:maxitn)                                                    # row005

    ... .. row006 -- row022 ... ..                                     .....

endfor                                                                    # row023
istop = 4;                                                                # row024
endfunction

```

## Octave-функция ralg5 ... rows(005-023)

```

for (itn = 1:maxitn)                                     # row005
    dx = B * (g1 = B' * g0)/norm(g1);                   # row006
    d = 1; ls = 0; ddx = 0;                             # row007
    while (d > 0)                                       # row008
        x -= hs * dx; ddx += hs * norm(dx);           # row009
        ncalls ++; [f, g1] = calcfg(x);                # row010
        if (f < fr) fr = f; xr = x; endif              # row011
        if(norm(g1) < epsg) istop = 2; return; endif   # row012
        ls ++; (mod(ls,nh)==0) && (hs *= q2);          # row013
        if(ls > 500) istop = 5; return; endif         # row014
        d = dx' * g1;                                  # row015
    endwhile                                           # row016
    (ls == 1) && (hs *= q1);                             # row017
    printf("itn %4d f %14.6e fr %14.6e ls %2d ncalls %4d\n", # row018
        itn, f, fr, ls, ncalls);
    if(ddx < epsx) istop = 3; return; endif           # row019
    xi = (dg = B' * (g1 - g0) )/norm(dg);             # row020
    B += (1 / alpha - 1) * B * xi * xi';             # row021
    g0 = g1;                                           # row022
endfor                                                # row023

```

## Выбор параметров для octave-функции ralgB5

При минимизации негладких функций рекомендуется следующий выбор параметров:  $\alpha = 2 \div 3$ ,  $h_0 = 1.0$ ,  $q_1 = 1.0$ ,  $q_2 = 1.1 \div 1.2$ ,  $n_h = 2 \div 3$ . Если известна априорная оценка расстояния от начальной точки  $x_0$  до точки минимума  $x^*$ , то начальный шаг  $h_0$  целесообразно выбирать порядка  $\|x_0 - x^*\|$ . При минимизации гладких функций рекомендуемые параметры такие же, за исключением  $q_1$  ( $q_1 = 0.8 \div 0.95$ ).

При таком выборе параметров, как правило, число спусков по направлению редко превосходит два, а за  $n$  шагов точность по функции улучшается в три-пять раз. Параметры останова  $\varepsilon_x, \varepsilon_g \sim 10^{-6} \div 10^{-5}$  при минимизации выпуклой функции даже существенно овражной структуры обеспечивает нахождение  $x_r^*$  со значением функции, достаточно близким к оптимальному. При этом обычно

$$\frac{f(x_r^*) - f(x^*)}{|f(x^*)| + 1} \sim 10^{-6} \div 10^{-5} \text{ — для негладких}$$

и

$$\frac{f(x_r^*) - f(x^*)}{|f(x^*)| + 1} \sim 10^{-12} \div 10^{-10} \text{ — для гладких функций,}$$

что подтверждается результатами многочисленных тестовых и реальных расчетов.

## Постановка задачи

Метод amsg2p предназначен для решения задачи

$$\text{найти } x^* = \operatorname{argmin}_{x \in R^n} f(x), \quad \text{где } f(x) \text{ – выпуклая функция} \quad (5)$$

при условиях:

- 1)  $f^*$  – известно,  $f^* = f(x^*)$ ,  $x^* \in X^*$ ;
- 2)  $\forall x \in R^n$  и  $\forall x^* \in X^*$  выполняется неравенство

$$(x - x^*, \partial f(x)) \geq \gamma(f(x) - f^*), \quad \text{где } \gamma \geq 1. \quad (6)$$

Здесь  $\partial f(x)$  – субградиент (градиент) функции  $f(x)$

## Метод amsg2p

есть субградиентным методом с преобразованием пространства

$$x_{k+1} = x_k - h_k B_k \frac{B_k^T \partial f(x_k)}{\|B_k^T \partial f(x_k)\|}, \quad h_k = \frac{\gamma(f(x_k) - f^*)}{\|B_k^T \partial f(x_k)\|}, \quad (7)$$

$$B_{k+1} = B_k T^{-1}(\xi, \eta) \quad \text{или} \quad B_{k+1} = B_k, \quad k = 0, 1, 2, \dots, \quad (8)$$

„ams“ указывает на способ регулировки шага. Впервые AMS-шаг использовали S. Agmon и T. S. Motzkin, I. J. Schoenberg в 1954 году в релаксационном методе для нахождения хотя бы одного из решений совместной системы линейных неравенств.

„g2p“ указывает на использование AMS-шага в пространстве переменных, преобразованном с помощью двух последних субградиентов (g2) и агрегатного вектора (p)

## Одноранговый эллипсоидальный оператор

Линейный оператор из  $R^n$  в  $R^n$

$$T_1(\xi, \eta) = I - \frac{1}{1 - (\xi, \eta)^2} \left( (1 - \sqrt{1 - (\xi, \eta)^2}) \eta - (\xi, \eta) \xi \right) \eta^T. \quad (9)$$

Здесь  $\xi, \eta \in R^n$  – векторы, такие что  $\|\xi\| = 1, \|\eta\| = 1$  и  $(\xi, \eta)^2 \neq 1$ ,  $I$  – единичная матрица размера  $n \times n$ .

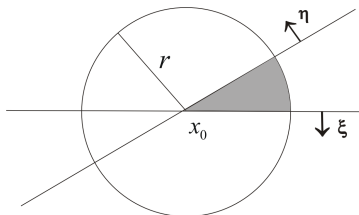


Стецюк П.И. Ортогонализирующие линейные операторы в выпуклом программировании (Часть I) // Кибернетика и системный анализ. – 1997. – №3. – С.97–119.

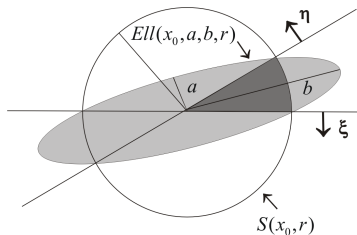
Преобразует в шар специальный эллипсоид, описанный вокруг тела  $W$ , которое получено в результате пересечения шара и двух полупространств, проходящих через центр шара.



# Тело $W$ и Специальный эллипсоид

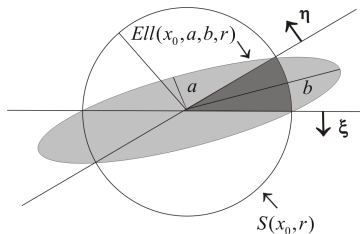


Тело  $W$  получено как пересечение шара и двух полупространств.

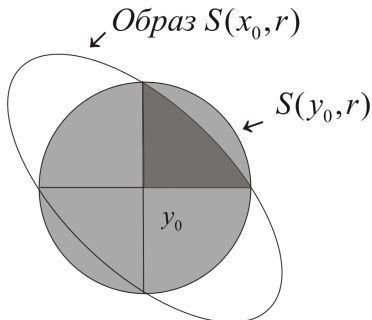


Специальный эллипсоид содержит  $W$  и имеет минимальный объем.

# Специальный эллипсоид до и после преобразования



Специальный эллипсоид



в преобразованном пространстве  
становится шаром

## Алгоритм-функция для метода amsg2p

Алгоритм-функция amsg2p:  $(x_\varepsilon^*, k_\varepsilon^*) = \text{amsg2p}(x_0, \varepsilon, f^*, \gamma)$

На итерации  $k=0$  имеем начальное приближение  $x_0 \in R^n$  и достаточно малое  $\varepsilon > 0$ . Вычислим  $f(x_0)$  и  $\partial f(x_0)$ . Если  $f(x_0) - f^* \leq \varepsilon$ , то  $x_\varepsilon^* = x_0$ ,  $k_\varepsilon^* = 0$  и окончание работы алгоритма.

Иначе положим  $h_0 = \frac{\gamma(f(x_0) - f^*)}{\|\partial f(x_0)\|}$ ,  $\xi_0 = \frac{\partial f(x_0)}{\|\partial f(x_0)\|} \in R^n$ ,  $p_0 = 0 \in R^n$ ,  $B_0 = I_n$  – единичная матрица размера  $n \times n$ .

Перейдем к следующей итерации.

Пусть на  $k$ -й итерации получены  $x_k \in R^n$ ,  $h_k, \xi_k \in R^n$ ,  $p_k \in R^n$ ,  $B_k$  – матрица  $n \times n$ . Для  $(k+1)$ -й итерации выполним пп. 1–5.

## Алгоритм-функция amsg2p: п. 1-3

1. Вычислим очередное приближение

$$x_{k+1} = x_k - h_k B_k \xi_k.$$

2. Вычислим  $f(x_{k+1})$  и  $\partial f(x_{k+1})$ . Если  $f(x_{k+1}) - f^* \leq \varepsilon$ , то  $x_\varepsilon^* = x_{k+1}$ ,  $k_\varepsilon^* = k+1$  и окончание алгоритма. Иначе положим

$$\xi_{k+1} = \frac{B_k^T \partial f(x_{k+1})}{\|B_k^T \partial f(x_{k+1})\|}, \quad h_{k+1} = \frac{\gamma(f(x_{k+1}) - f^*)}{\|B_k^T \partial f(x_{k+1})\|}.$$

3. Вычислим  $\lambda_1 = -p_k^T \xi_{k+1}$  и  $\lambda_2 = -\xi_k^T \xi_{k+1}$ . Положим

$$p_{k+1} = \begin{cases} \frac{\lambda_1}{\sqrt{\lambda_1^2 + \lambda_2^2}} p_k + \frac{\lambda_2}{\sqrt{\lambda_1^2 + \lambda_2^2}} \xi_k, & \text{если } \lambda_1 > 0 \text{ и } \lambda_2 > 0, \\ p_k, & \text{если } \lambda_1 > 0 \text{ и } \lambda_2 \leq 0, \\ \xi_k, & \text{если } \lambda_1 \leq 0 \text{ и } \lambda_2 > 0, \\ 0, & \text{если } \lambda_1 \leq 0 \text{ и } \lambda_2 \leq 0. \end{cases}$$

## Алгоритм-функция amsg2p: п. 4-5

4. Вычислим  $\mu_k = p_{k+1}^T \xi_{k+1}$ . Если  $-1 < \mu_k < 0$ , то вычислим

$$B_{k+1} = B_k + (B_k \eta) \xi_{k+1}^T, \text{ где } \eta = \left( \frac{1}{\sqrt{1 - \mu_k^2}} - 1 \right) \xi_{k+1} - \frac{\mu_k}{\sqrt{1 - \mu_k^2}} p_{k+1}.$$

и пересчитаем

$$h_{k+1} = \frac{h_{k+1}}{\sqrt{1 - \mu_k^2}}, \quad p_{k+1} = \frac{1}{\sqrt{1 - \mu_k^2}} (p_{k+1} - \mu_k \xi_{k+1})$$

Иначе положим  $B_{k+1} = B_k$  и  $p_{k+1} = 0$ .

5. Перейдем к новой итерации с  $x_{k+1}$ ,  $h_{k+1}$ ,  $\xi_{k+1}$ ,  $p_{k+1}$ ,  $B_{k+1}$ .

## Выводы

Приведенные алгоритмы можно использовать при решении негладких задач из различных областей приложений. Так как гладкая функция с очень быстро изменяющимся градиентом близка по своим свойствам к негладкой функции, то наши алгоритмы обладают ускоренной сходимостью при оптимизации овражных гладких функций.

Матрично-векторные вычисления для обоих семейств алгоритмов легко поддаются параллельной обработке, что может быть полезным при их реализации на параллельных ЭВМ.

# Библиография



1. Шор Н.З. Методы недифференцируемой оптимизации и сложные экстремальные задачи: Сб. избр. тр. – Кишинэу: Эврика, 2008. – 270 с.



2. Шор Н.З. Методы минимизации негладких функций и матричные задачи оптимизации: Сб. избр. тр. – Кишинэу: Эврика, 2009. – 240 с.



3. Octave [Электронный ресурс] <http://www.octave.org>. – Режим доступа: свободный.

Сборники избранных трудов Шора доступны по ссылке  
<http://elis.dvo.ru/?q=node/114>

## Вопросы?

СПАСИБО ЗА ВНИМАНИЕ!